



1/24

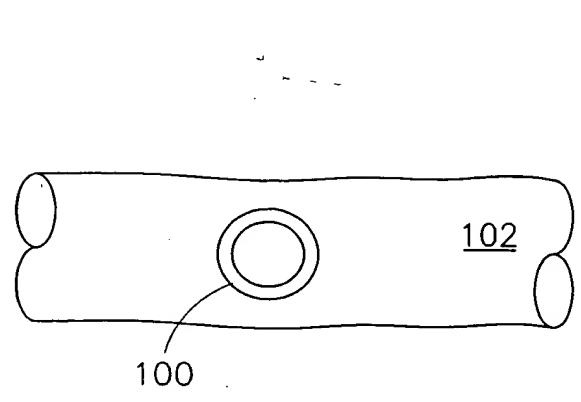


FIG. 1A

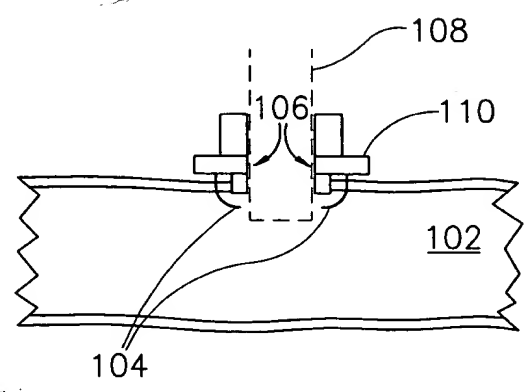


FIG. 1B

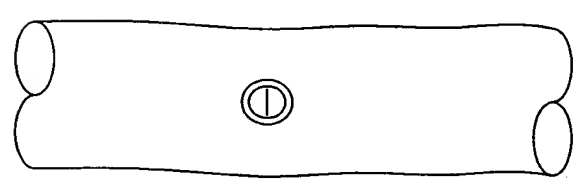


FIG. 1C

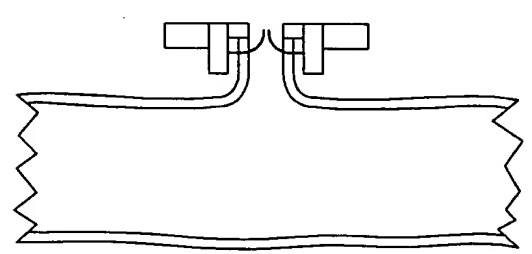


FIG. 1D

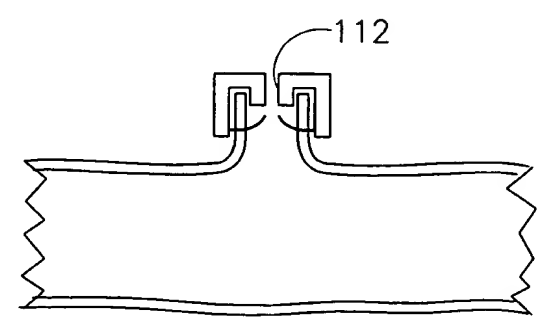


FIG. 1E

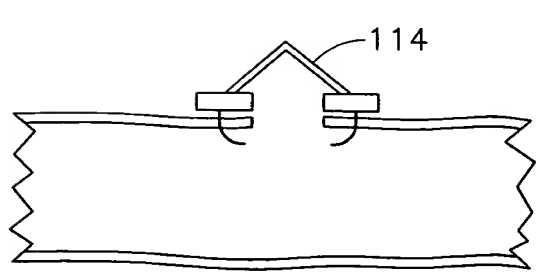


FIG. 1F

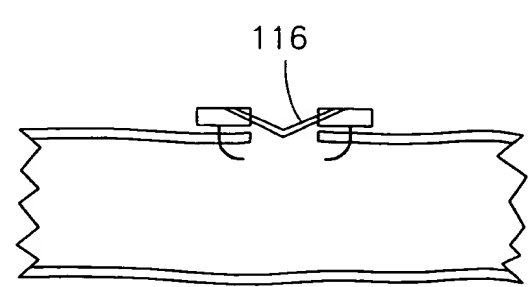


FIG. 1G

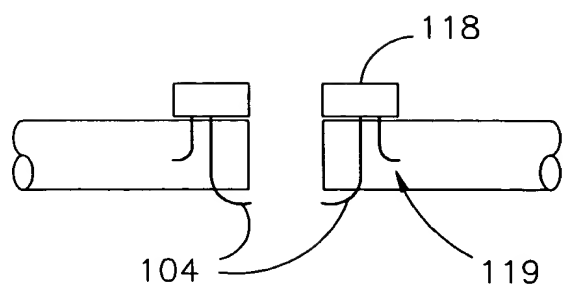


FIG. 1H

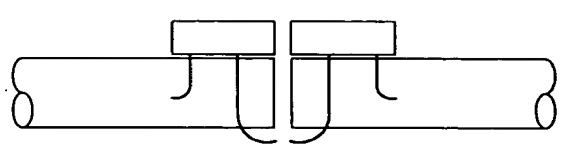


FIG. 1I

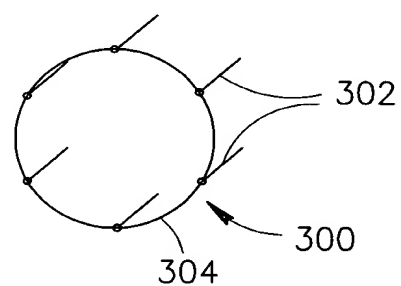


FIG. 1J

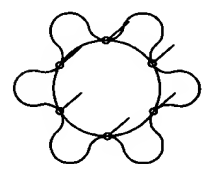


FIG. 1K

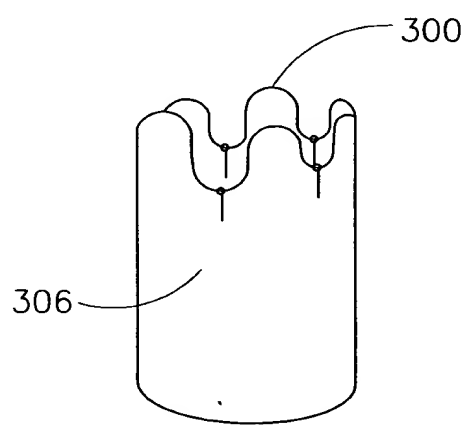


FIG. 1L

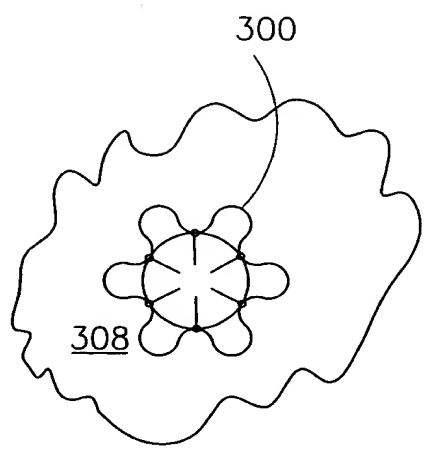


FIG. 1M



3/24

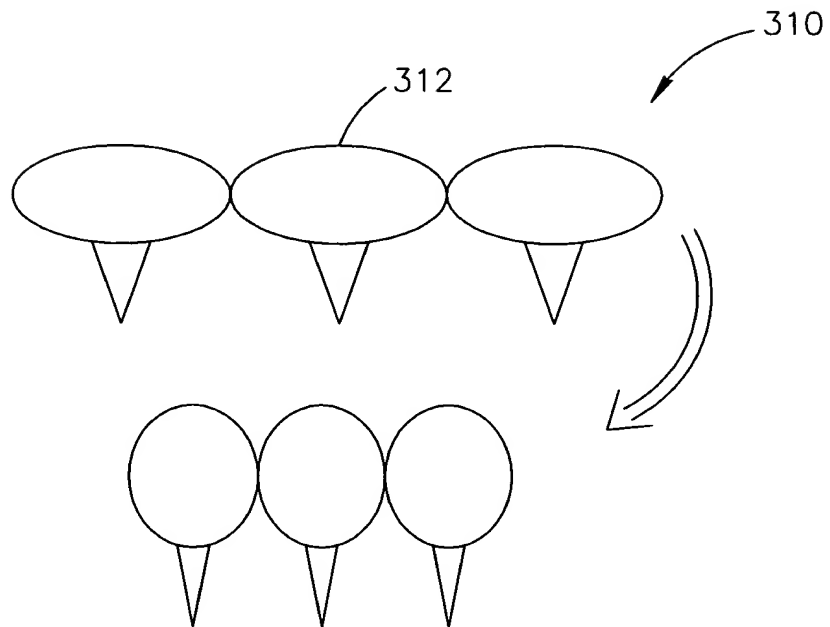


FIG.1N

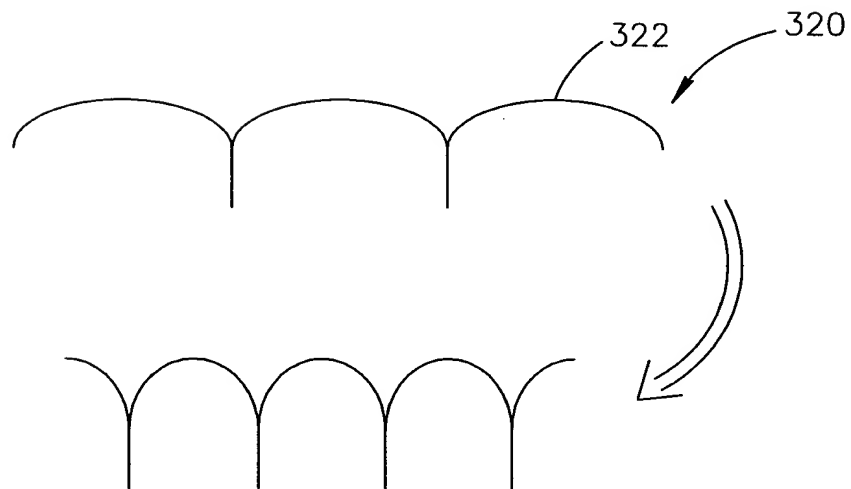


FIG.10



4/24

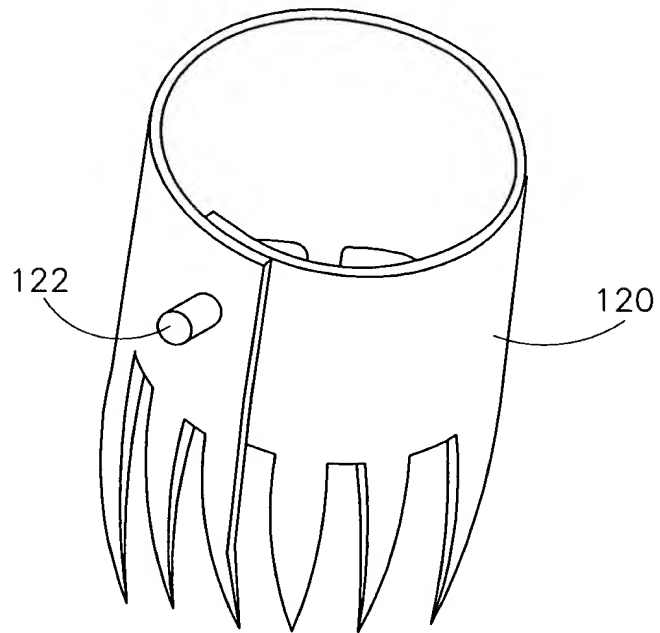


FIG. 2A

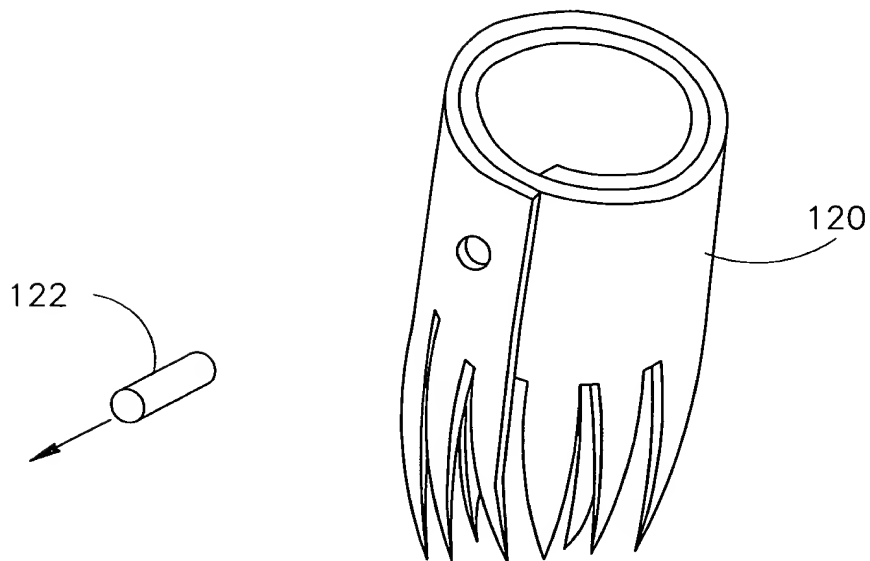
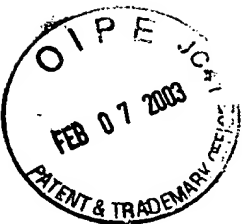


FIG. 2B



VASCULAR CLOSURE DEVICE  
Loshakove et al. USCN 09/936,789

5/24

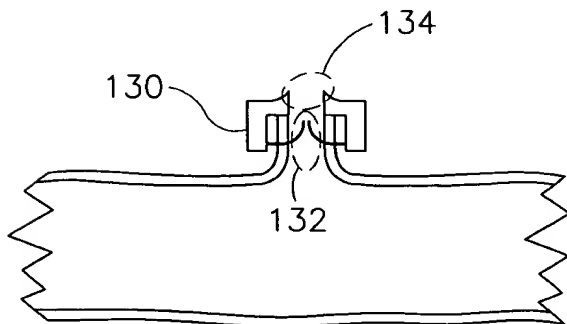


FIG. 3

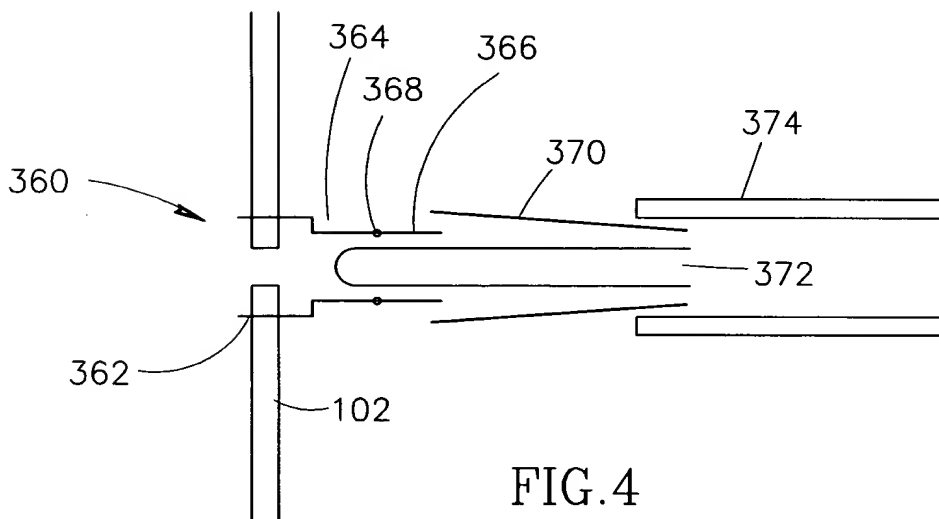


FIG. 4

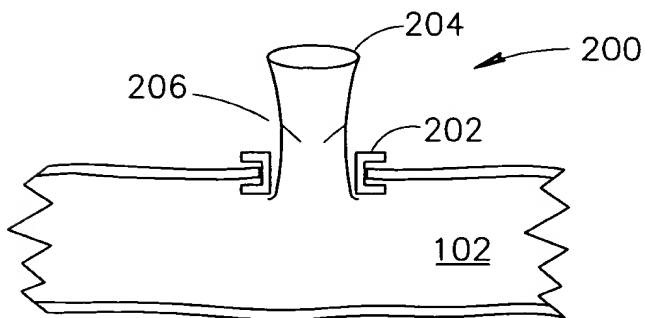


FIG. 5



6/24

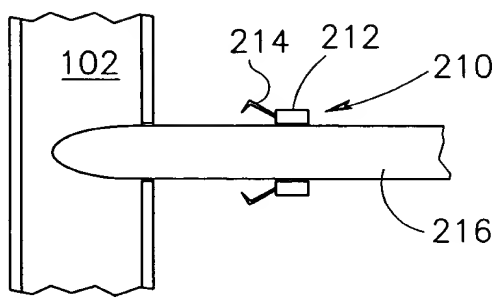


FIG. 6A

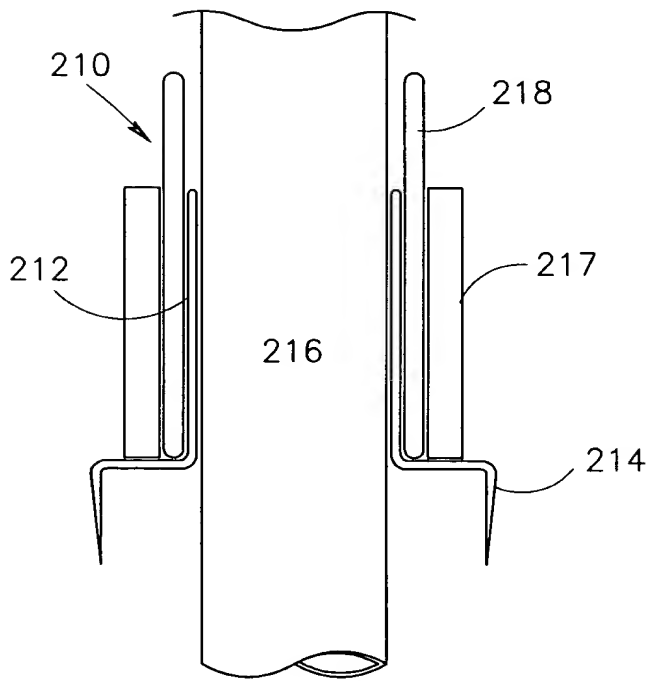


FIG. 6B



7/24

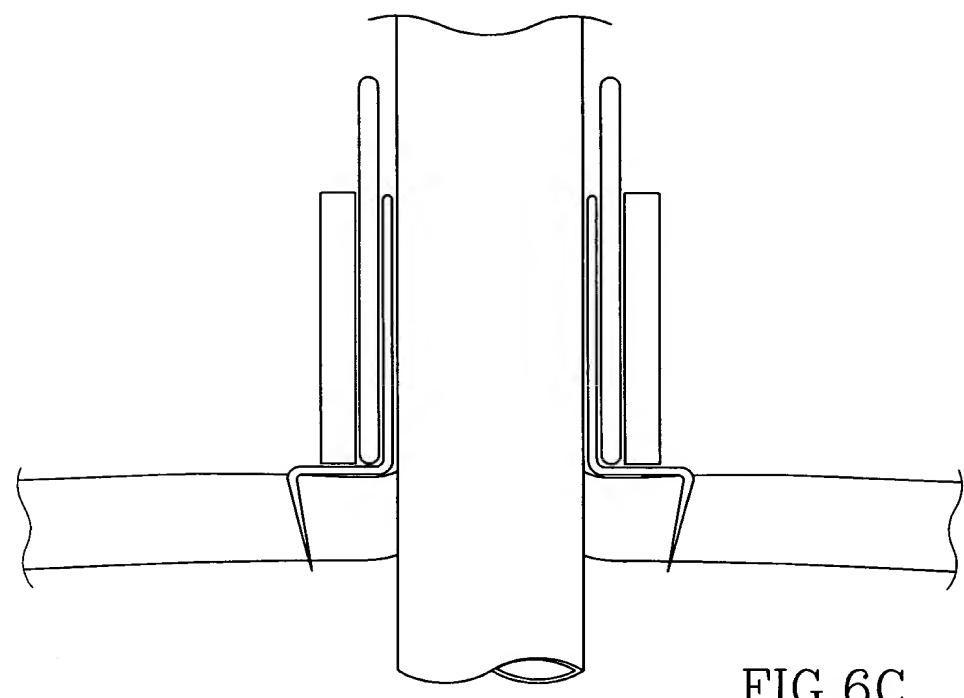


FIG. 6C

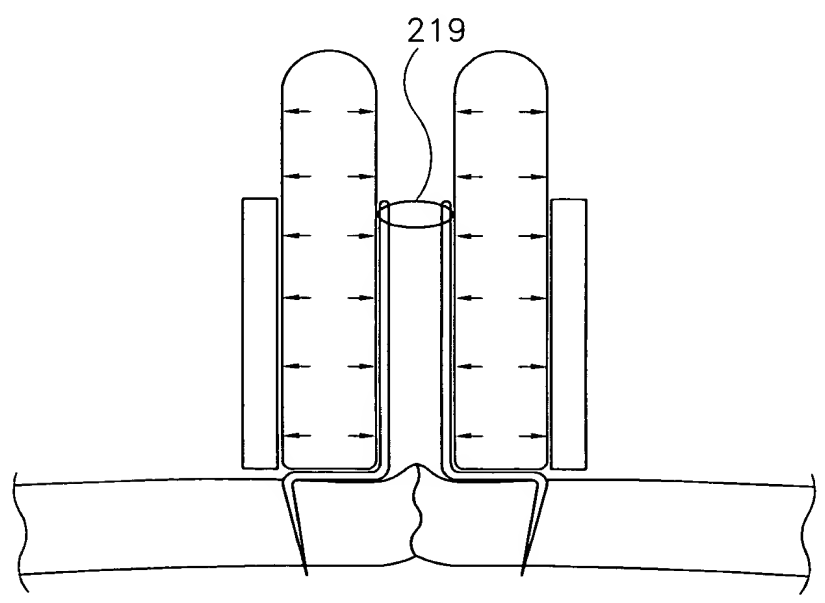


FIG. 6D



8/24

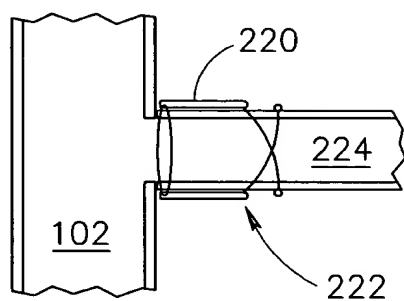


FIG. 7

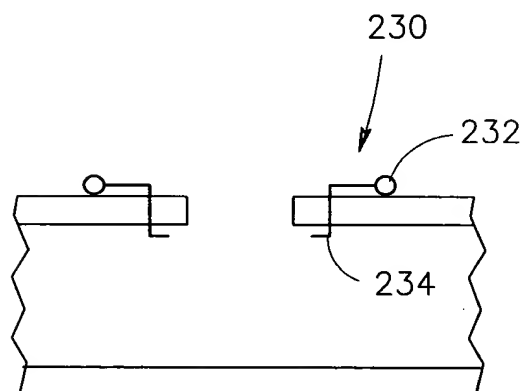


FIG. 8A

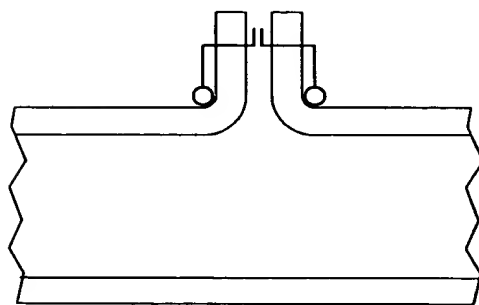


FIG. 8B





9/24

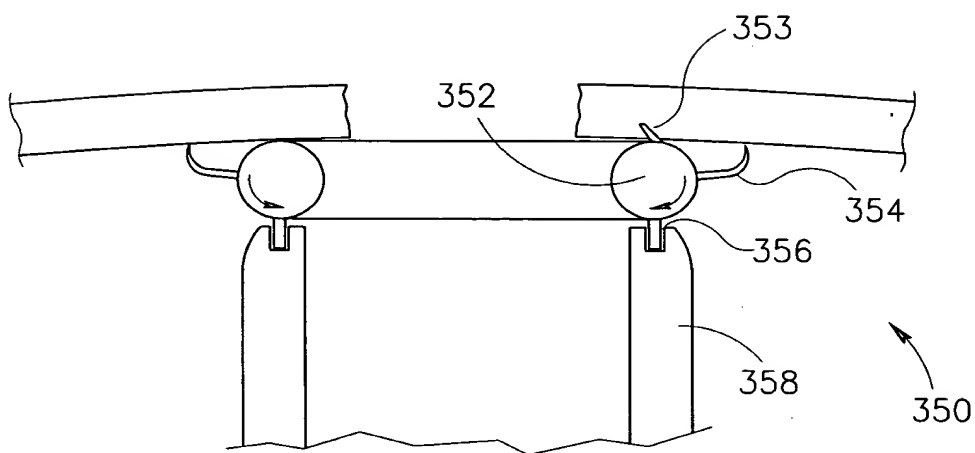


FIG. 8C

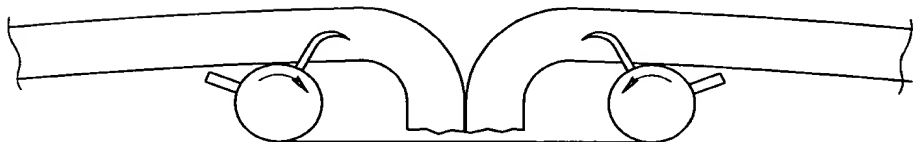


FIG. 8D



10/24

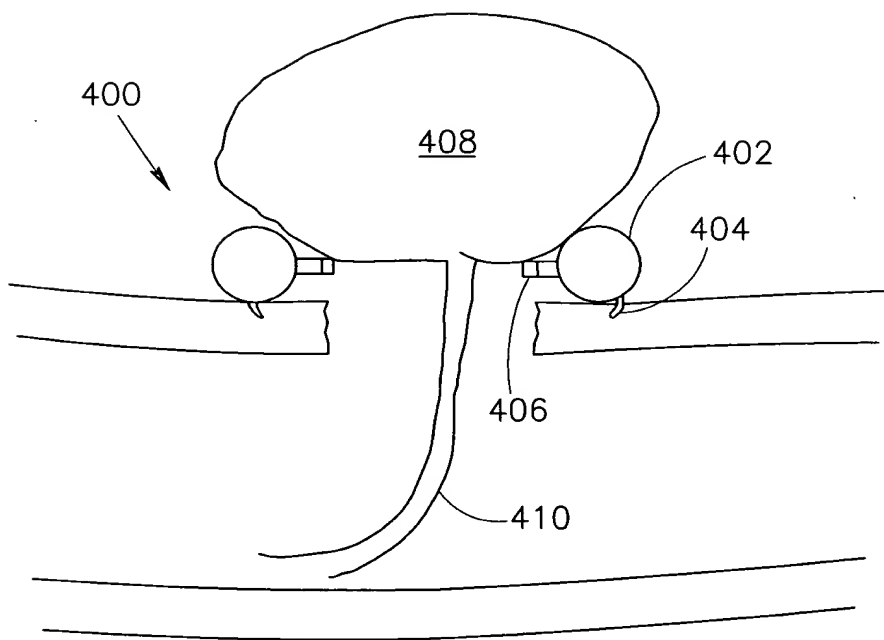


FIG.8E



11/24

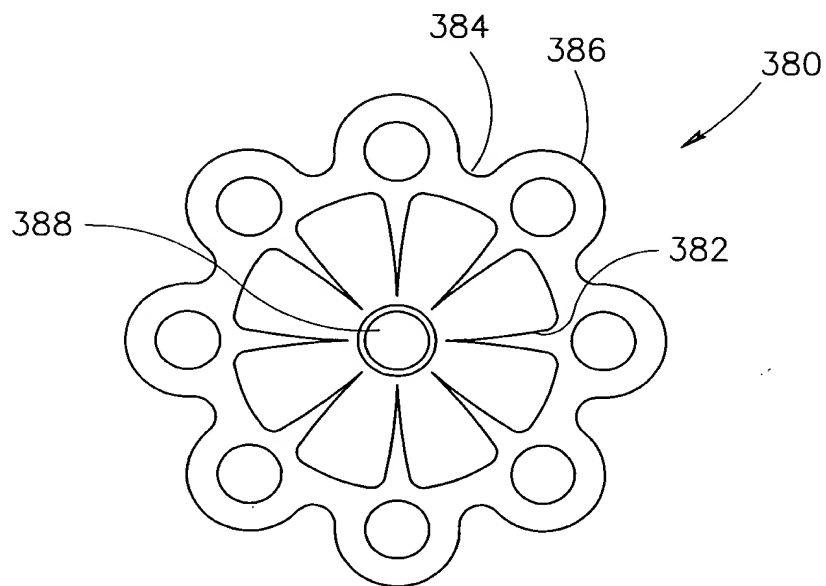


FIG. 9A

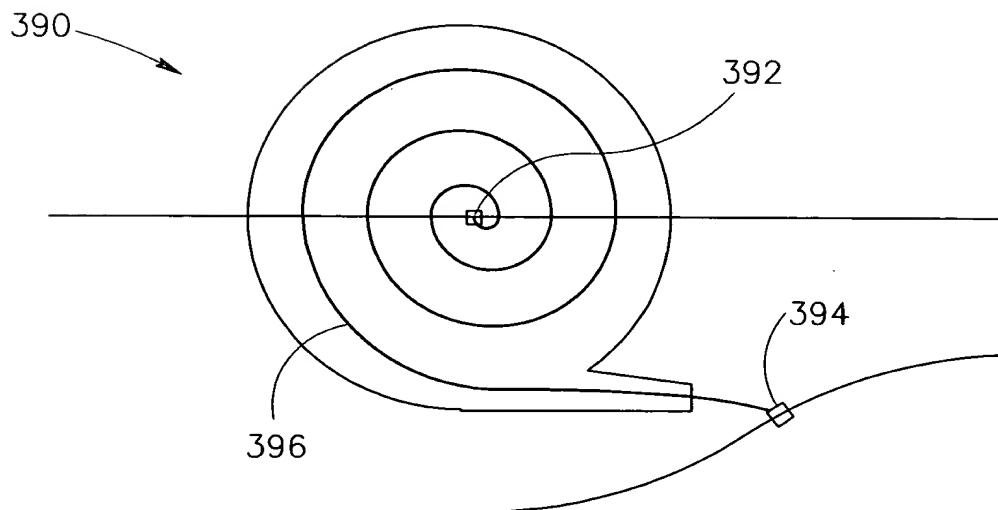


FIG. 9B





13/24

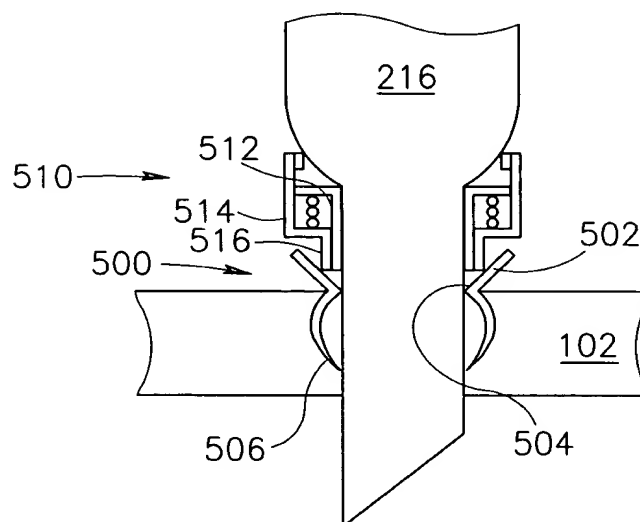


FIG. 10D

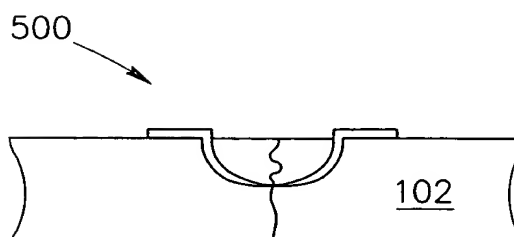


FIG. 10E



14/24

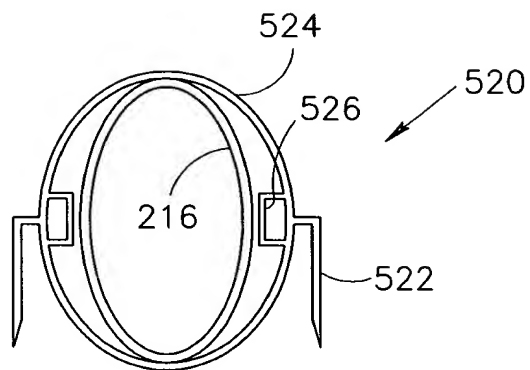


FIG. 11A

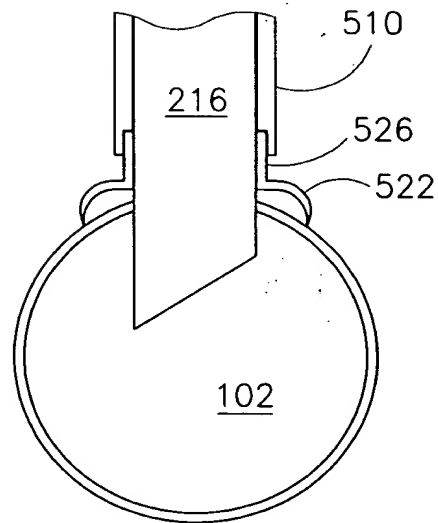


FIG. 11B

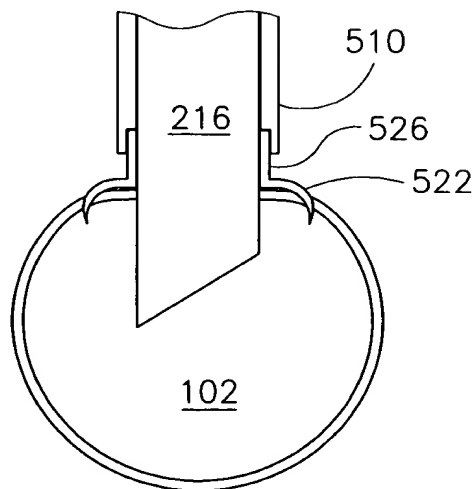


FIG. 11C



15/24

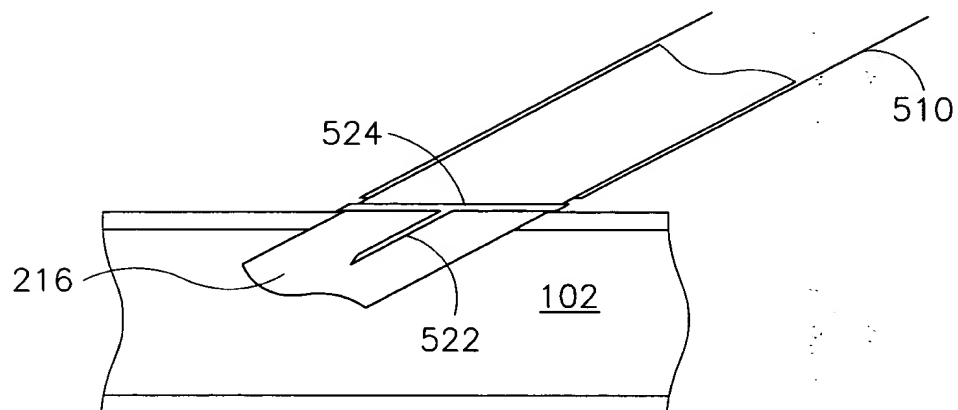


FIG. 11D

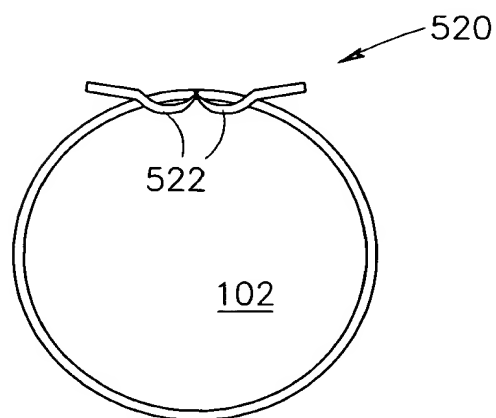


FIG. 11E



16/24

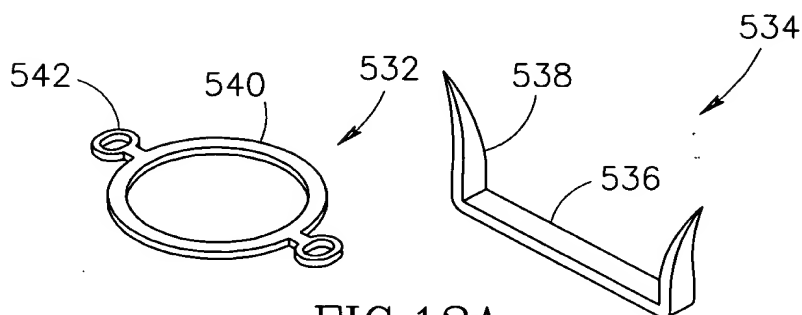


FIG. 12A

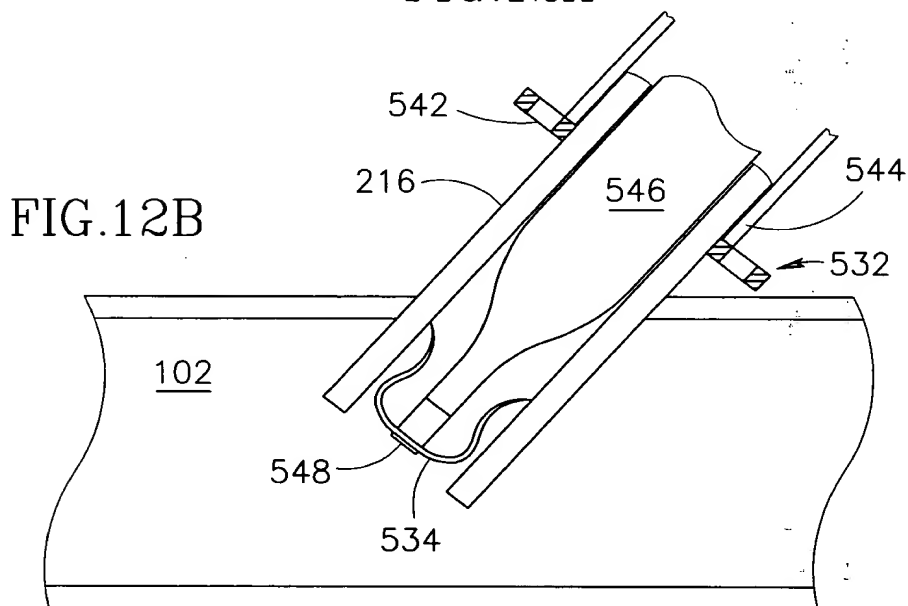


FIG. 12B

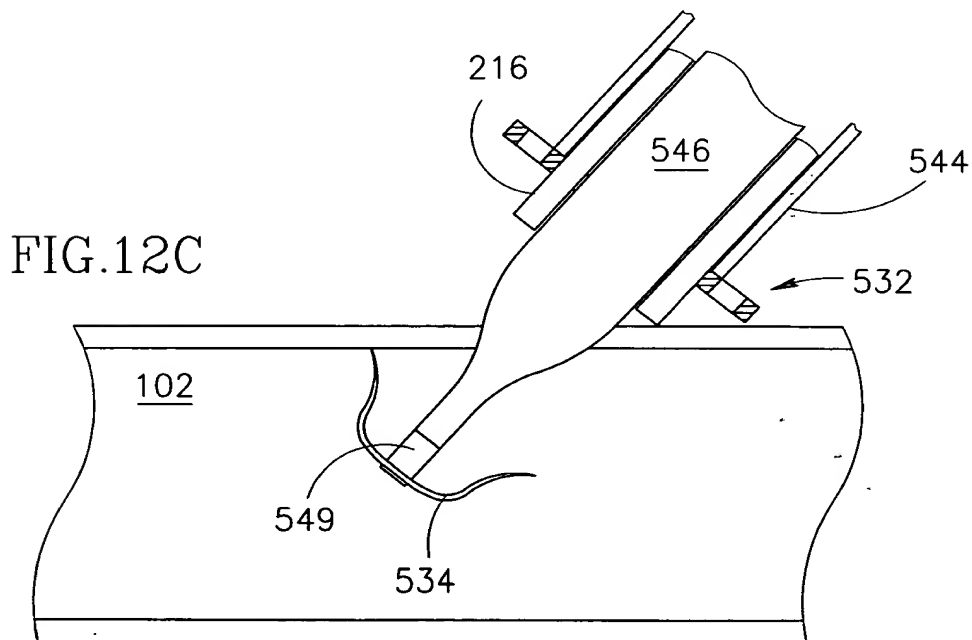


FIG. 12C





17/24

FIG.12D

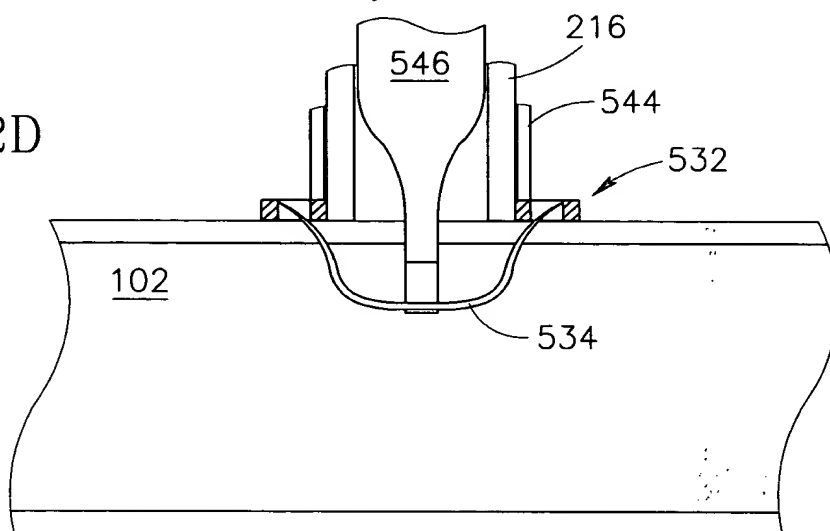


FIG.12E

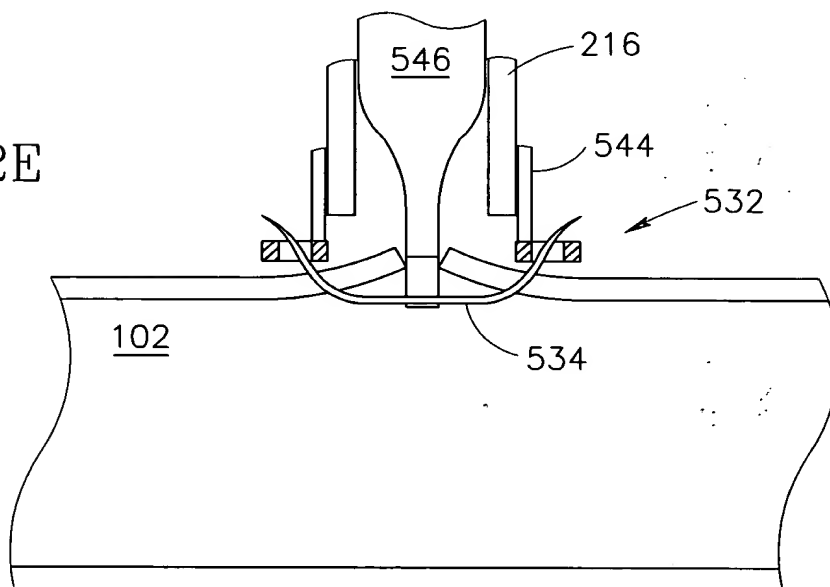
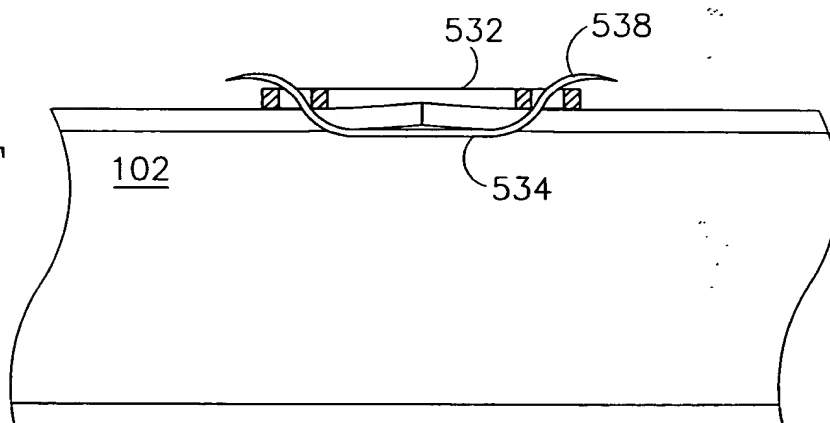


FIG.12F





18/24

FIG.13A

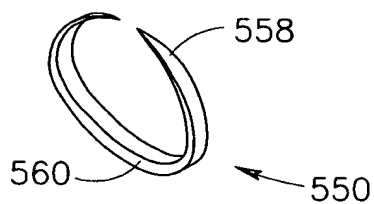


FIG.13B

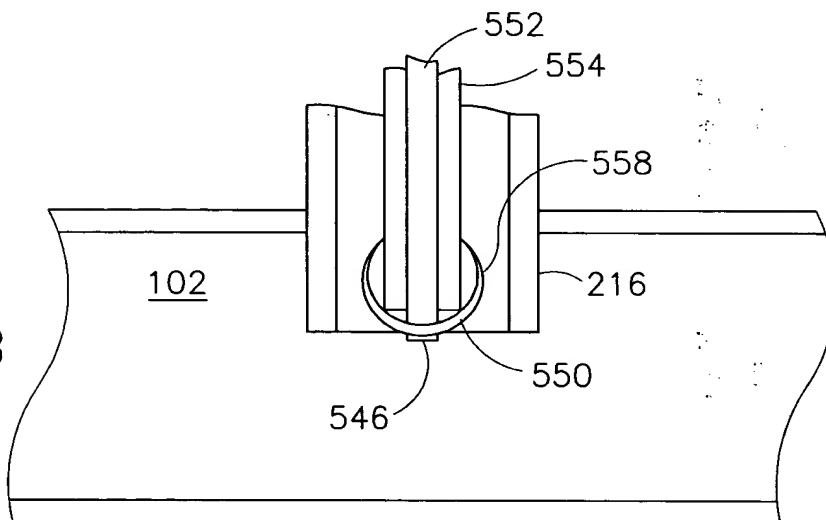
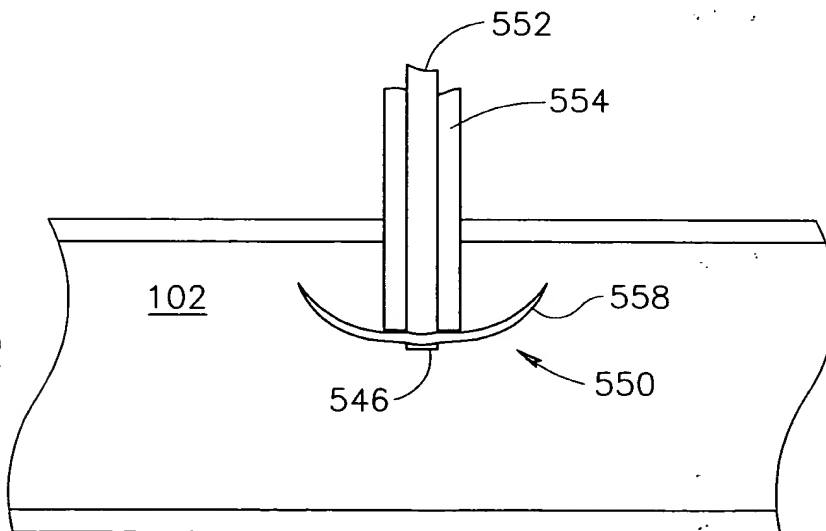


FIG.13C





19/24

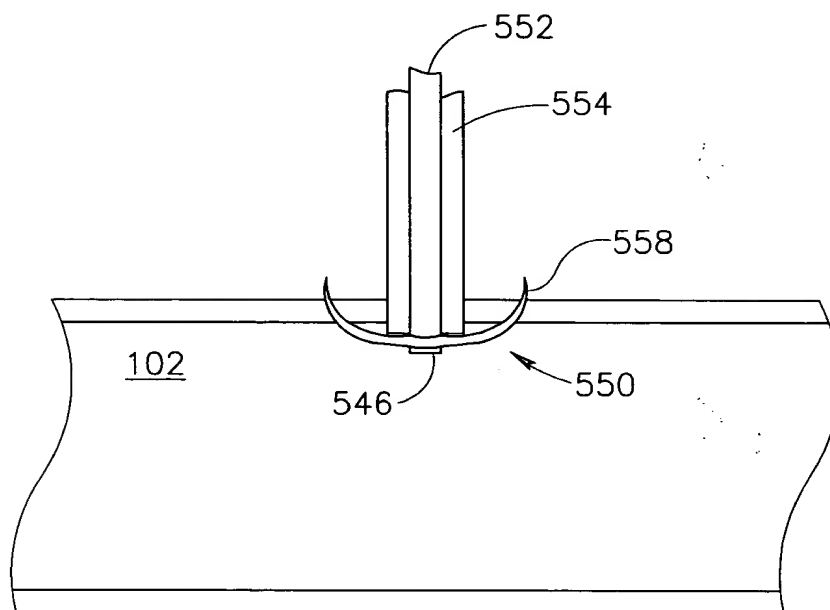


FIG.13D

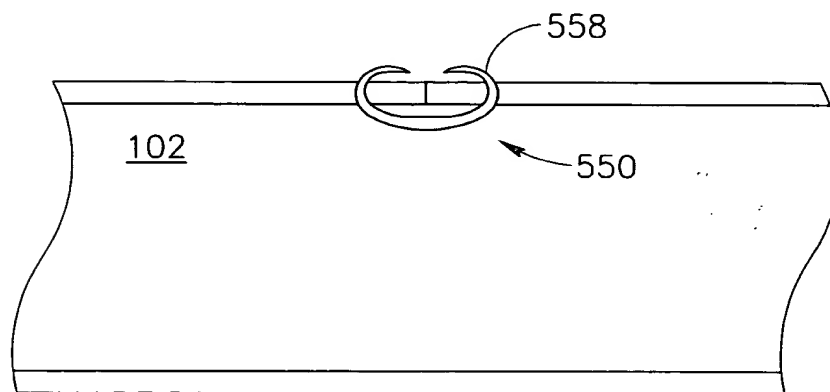


FIG.13E



20/24

FIG.14A

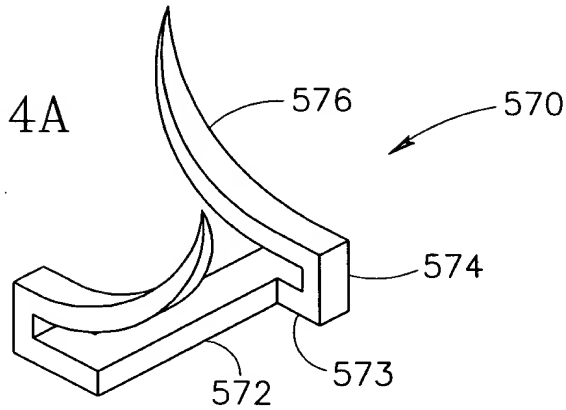


FIG.14B

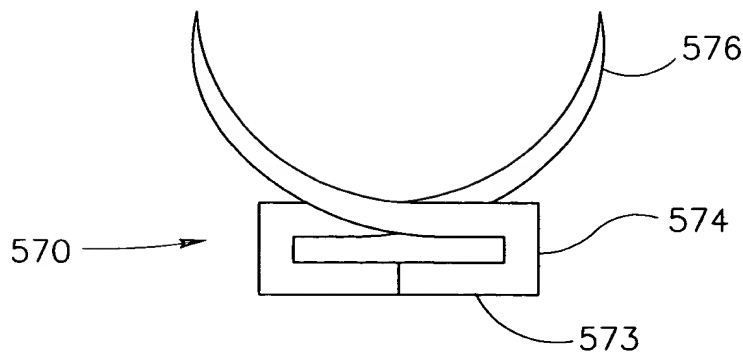
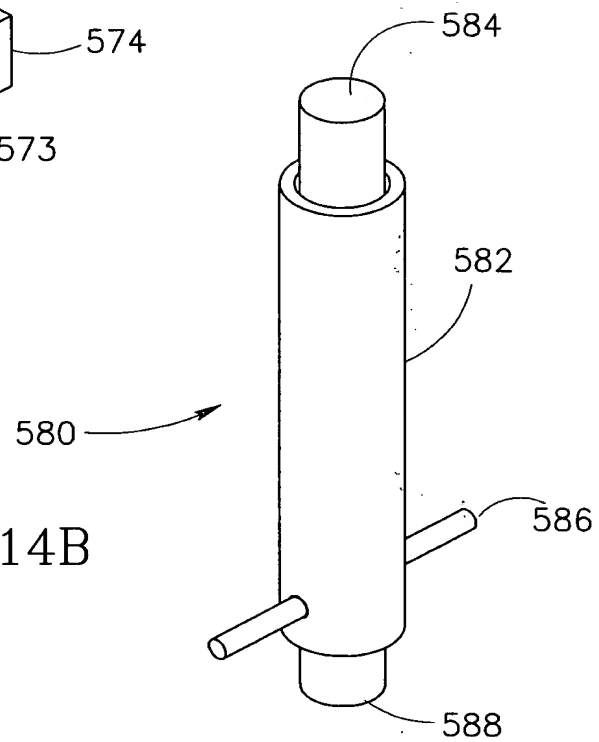


FIG.14C



21/24

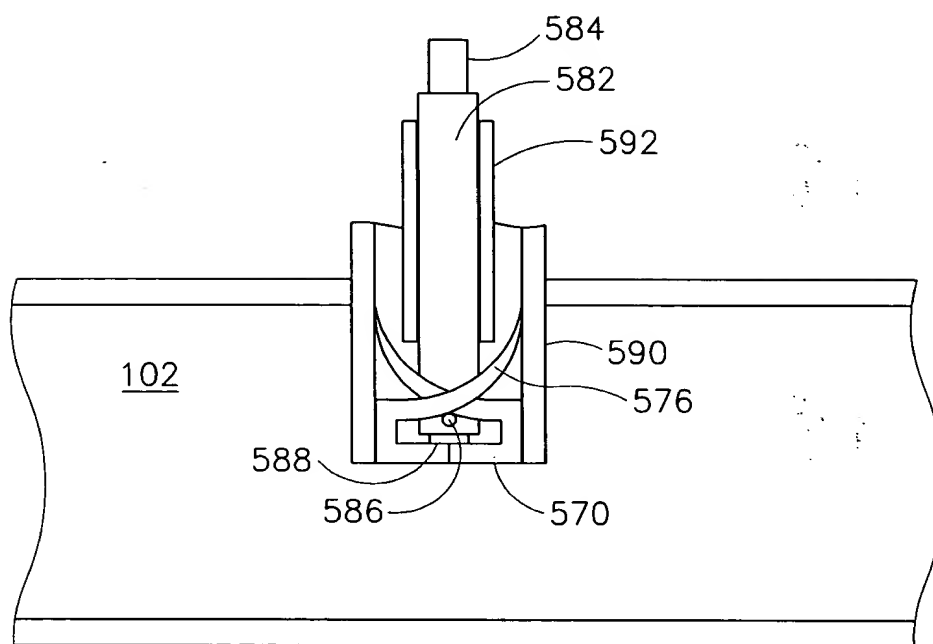


FIG. 15A

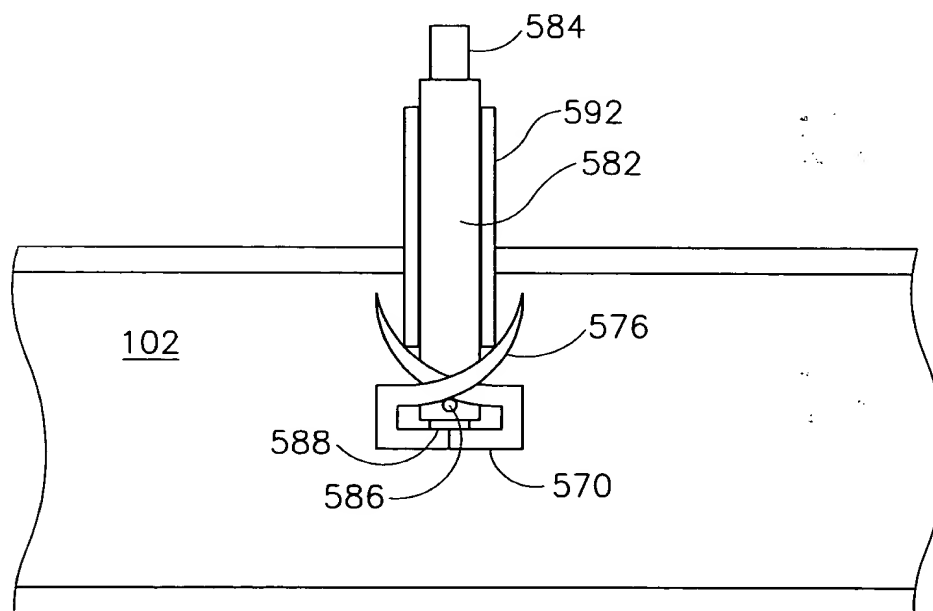


FIG. 15B



22/24

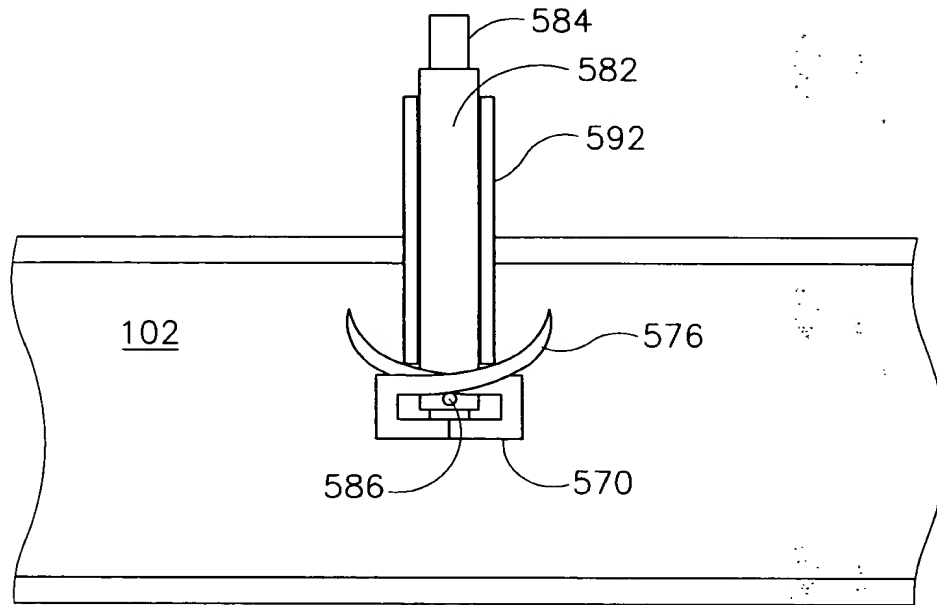


FIG.15C

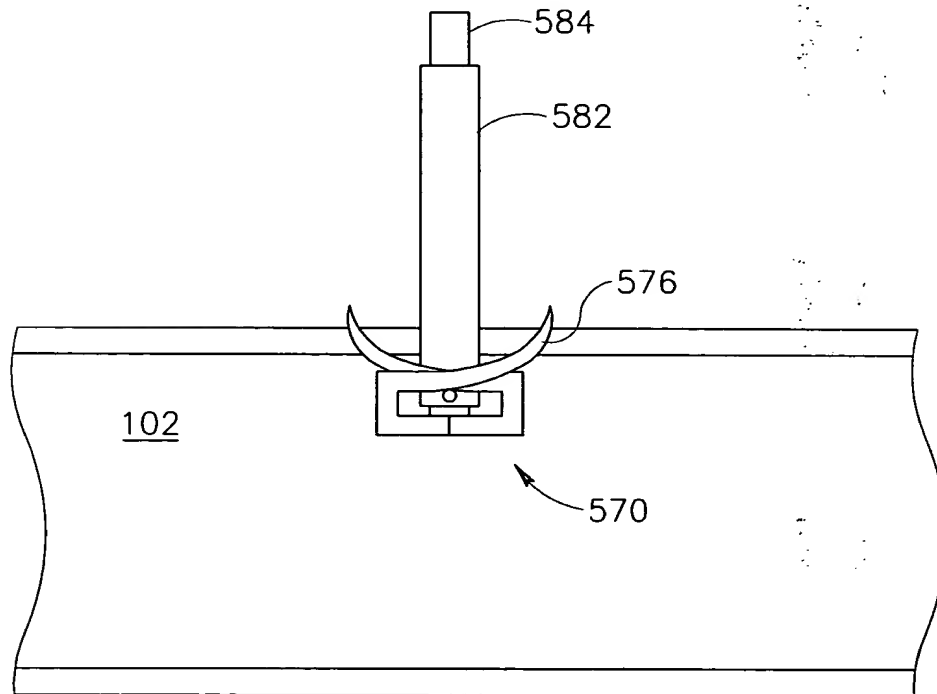


FIG.15D



23/24

FIG.15E

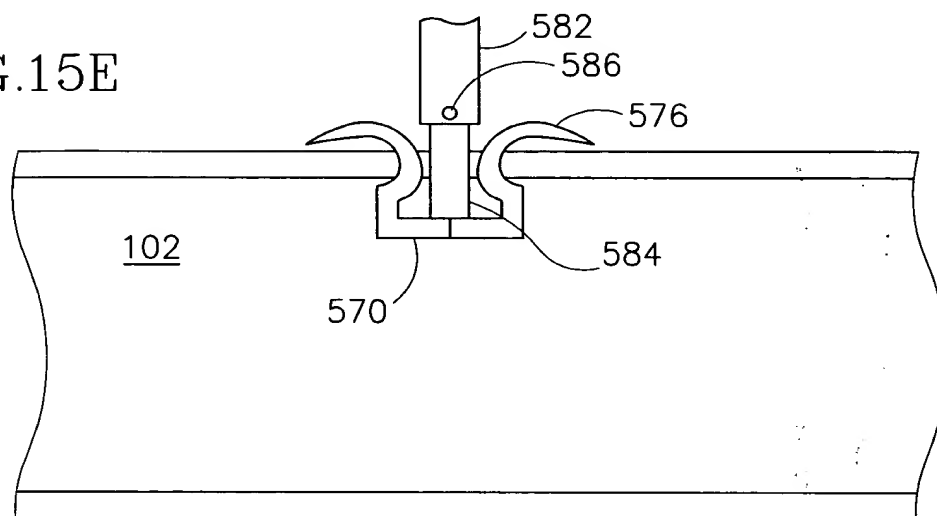


FIG.15F

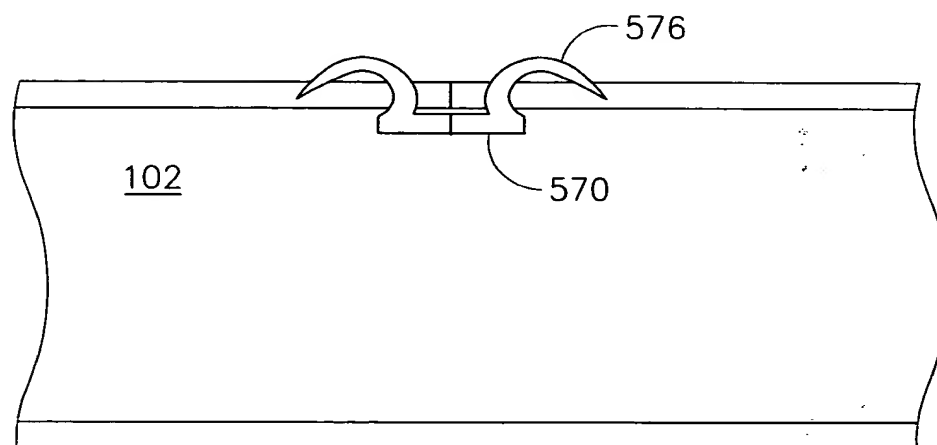
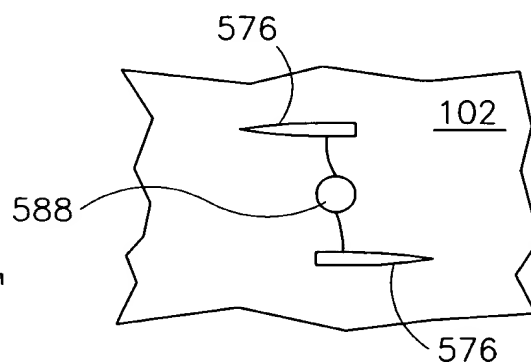


FIG.15G



24/24

